

## О РЕШЕНИИ ВНЕШНИХ ЗАДАЧ ЭЛЕКТРОСТАТИКИ МЕТОДОМ $R$ -ФУНКЦИЙ

*В. Ф. Кравченко, В. Л. Рвачев, А. П. Слесаренко,  
В. К. Ярмолюк*

Харьков

В работах [1—3] рассматривалось применение  $R$ -функций в сочетании с вариационными методами к решению внутренних задач электростатики. Формулируемые для этих задач вариационные принципы [5] можно непосредственно распространить на поля в неограниченной области, подчинив их лишь условиям на бесконечности. Они, как и плоские ограниченные поля, допускают построение полной системы координатных функций, удовлетворяющих заданным краевым условиям и условиям на бесконечности. Такую систему для сложных границ можно построить с помощью метода  $R$ -функций. Тогда, согласно схеме Галеркина—Ритца, задача сведется к решению системы линейных алгебраических уравнений.

Настоящая работа посвящена применению аппарата  $R$ -функций к решению внешней задачи электростатики для областей сложной формы. На примере расчета полей в электростагических линзах иллюстрируется применимость данной методики для практических целей.

Рассмотрим систему  $n - 1$  плоских проводящих пластин толщиной  $b_{2i-1} - b_{2i-2}$  ( $i = 2, 3, \dots, n$ ) с отверстиями радиуса  $a$ , расположенных друг от друга на расстоянии  $b_{2i-2} - b_{2i-3}$  ( $i = 3, 4, \dots, n$ ) и помещенных между двумя параллельными проводящими плоскостями, расстояние между которыми  $b_{2n}$ . На каждом из электродов поддерживаются постоянные потенциалы, равные соответственно  $V_i$  ( $i = 1, 2, \dots, n + 1$ ) (рис. 1). Фокусирующие свойства такой линзы выражаются через поле на оси симметрии.

В частном случае для данной задачи при  $n = 2$  Рамо и Уиннери [4] удалось получить решение при выполнении граничных условий только в четырех точках, что не позволяет найти решения, достаточно близкого (с точки зрения эксперимента) к точному.

Рассматриваемая задача в общем случае может быть сформулирована следующим образом: построить функцию  $\varphi(x, y)$ , удовлетворяющую уравнению Лапласа

$$\frac{\partial^2 \varphi}{\partial x^2} + \frac{\partial^2 \varphi}{\partial y^2} = 0 \quad (1)$$

и граничным условиям

$$\varphi|_{\omega_{2i}=0} = V_i \quad (i = 1, 2, \dots, n + 1), \quad (2)$$

где  $\omega_{2l-1} = 0$  — уравнение границ, на которых поддерживаются постоянные потенциалы.

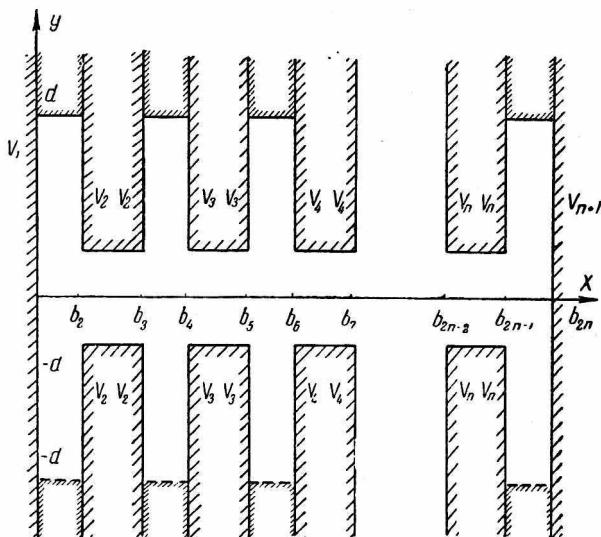


Рис. 1.

Построение этих уравнений достигается с помощью операции  $R$ -конъюнкции [3], которая в элементарном виде записывается так:

$$X \wedge_{\alpha} Y = \frac{1}{2} (X + Y - \sqrt{X^2 + Y^2 - 2\alpha XY}) \quad (-1 < \alpha \leq 1); \quad (3)$$

$$\omega_1 = f_1;$$

$$\omega_3 = -[(-f_2 f_3) \wedge_{\alpha} f_{2n+1}];$$

$$\omega_5 = -[(-f_4 f_5) \wedge_{\alpha} f_{2n+1}];$$

.....

$$\omega_{2n-1} = -[(-f_{2n-2} \cdot f_{2n-1}) \wedge_{\alpha} f_{2n+1}];$$

$$\omega_{2n} = -[(-f_{2n-2} \cdot f_{2n-1}) \wedge_{\alpha} f_{2n+1}],$$

где  $f_1 = x \geq 0;$

$$f_2 = (b_2 - x) \geq 0;$$

$$f_3 = (b_3 - x) \geq 0;$$

$$f_4 = (b_4 - x) \geq 0;$$

$$f_{2n-2} = (b_{2n-2} - x) \geq 0;$$

$$f_{2n+1} = (y^2 - a^2) \geq 0;$$

$$f_{2n-1} = (b_{2n-1} - x) \geq 0;$$

$$f_{2n+2} = (y^2 - d^2) \geq 0. \quad (4)$$

$$f_{2n} = (b_{2n} - x) \geq 0;$$

В данной задаче все  $n - 1$  плоские проводящие пластины предполагаются полубесконечными. Тогда на значительном расстоя-

нии от оси симметрии потенциал должен удовлетворять следующим условиям:

$$\begin{aligned} \varphi_{0 < x < b_2}^{y = \pm d} &= \frac{(V_2 - V_1)}{b_2} x + V_1 = \psi_1(x, V_1, V_2); \\ \varphi_{b_3 < x < b_4}^{y = \pm d} &= \frac{(V_2 - V_1)}{b_3 - b_4} x + \frac{b_3 V_3 - b_4 V_2}{b_3 - b_4} = \psi_2(x, V_2, V_3); \\ &\dots \dots \dots \\ \varphi_{b_{2n-1} < x < b_{2n}}^{y = \pm d} &= \frac{(V_n - V_{n+1})}{b_{2n-1} - b_{2n}} x + \frac{V_{n+1} b_{2n-1} - b_{2n} V_n}{b_{2n-1} - b_{2n}} = \psi_n(x, V_n, V_{n+1}). \end{aligned} \quad (5)$$

Не изменяя общности поставленной задачи, введем скользящие границы  $\omega_{2i}(x, y) = 0$ . Величина параметра скольжения  $d$  должна быть выбрана из следующих соображений. Главным образом нас интересует поле на оси симметрии, поэтому необходимо, чтобы взаимное влияние окрестностей границ  $\omega_{2i}$  и оси симметрии было пренебрежимо мало. При этом условии отбрасываемая часть области вне границ  $\omega_{2i} = 0$  практически не участвует в формировании поля на оси симметрии, что также значительно облегчает приближенное интегрирование по области.

Тогда условия (5) примут вид

$$\varphi|_{\omega_{2i}=0} = \psi_i(x, V_{i-1}, V_i) \quad (i = 1, 2, \dots, n+1), \quad (6)$$

где

$$\begin{aligned} \omega_2 &= -[(f_1 f_2) \wedge a f_{2n+2}]; \\ \omega_4 &= -[(-f_3 f_4) \wedge a f_{2n+2}]; \\ &\dots \dots \dots \\ \omega_{2n} &= -[(-f_{2n-1} f_{2n}) \wedge a f_{2n+2}]. \end{aligned} \quad (7)$$

Таким образом, рассматриваемая задача сводится к отысканию решения уравнения (1), удовлетворяющего условиям (2) и (6).

Согласно [1], решение краевой задачи будем искать в виде

$$\varphi(x, y) = \varphi_0(x, y) + \omega(x, y) \sum_{i=1}^p C_i \chi_i(x, y), \quad (8)$$

где  $\chi_i$  ( $i = 1, 2, \dots, p$ ) — некоторая полная система функций [5].

Для внешних краевых задач электростатики в качестве такой системы функций введем последовательность

$$\left\{ \frac{x^k y^s}{(1 + \omega) \frac{k+s+l}{m}} \right\} \quad \begin{aligned} &(k + s = 0, 1, \dots, p), \\ &(k, s \geq 0), \end{aligned} \quad (9)$$

где  $m$  — степень функции  $\omega(x, y)$ , а  $l$  — показатель степени, характеризующий скорость спада искомой функции на бесконечности. В соответствии с физической сущностью изучаемого явления для данного случая  $l = 1$ .

Можно проверить, что функция

$$\varphi(x, y) = \frac{\sum_{i=1}^{n+1} \frac{V_i}{\omega_{2i-1}} + \sum_{i=1}^n \frac{\psi_i(x, V_{i-1} V_i)}{\omega_{2i}}}{\sum_{i=1}^{2n+1} \frac{1}{\omega_i}} + \omega \sum_{\substack{k+s=0 \\ k, s \geq 0}}^p C_{k,s} \frac{x^k y^s}{(1+\omega)^{\frac{m+k+s+l}{m}}} \quad (10)$$

независимо от выбора постоянных  $C_{k,s}$  точно удовлетворяет условиям (2) и (6). Эти постоянные должны быть подобраны так, чтобы наилучшим образом удовлетворить уравнению Лапласа.

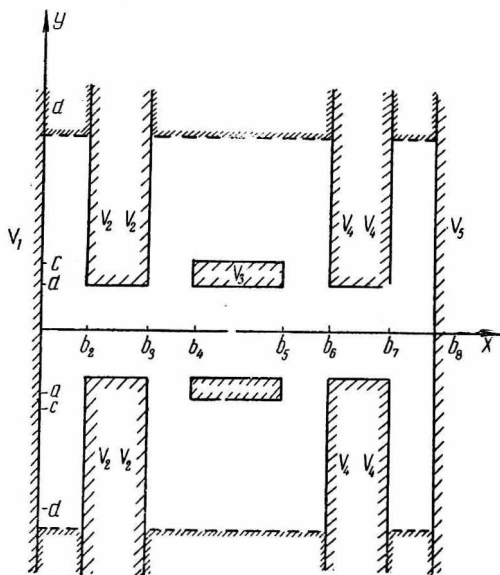


Рис. 2.

Для этого можно воспользоваться процедурой Галеркина — Ритца.

Для данной задачи функция  $\omega(x, y)$  имеет следующий вид:

$$\omega = (f_1 f_{2n}) \{ - [ (-f_2 f_3) \wedge a f_{2n+1} ] \} \{ - [ (-f_4 f_5) \wedge a f_{2n+1} ] \} \times \\ \times \{ - [ (-f_6 f_7) \wedge a f_{2n+1} ] \} \dots \{ - [ (-f_{2n-2} f_{2n-1}) \wedge a f_{2n+1} ] \}. \quad (11)$$

В качестве примера рассмотрим задачу определения поля в электростатической линзе [6], изображенной на рис. 2.

Краевые условия для данной задачи представляются в виде

$$\varphi|_{\omega_1=0} = V_1; \quad \varphi|_{\omega_2=0} = \psi_1(x, V_1, V_2); \quad \varphi|_{\omega_3=0} = V_2; \\ \varphi|_{\omega_4=0} = V_3; \quad \varphi|_{\omega_5=0} = \psi_2(x, V_2, V_4); \quad \varphi|_{\omega_6=0} = V_4;$$

$$\varphi|_{\omega_i=0} = \psi_3(x, V_4, V_5); \quad \varphi|_{\omega_8=0} = V_5, \quad (12)$$

где

$$\begin{aligned} \omega_1 &= f_1; & \omega_2 &= -[(f_1 f_2) \wedge a f_{10}]; & \omega_3 &= -[(-f_2 f_3) \wedge a f_9]; \\ \omega_4 &= -[(f_9 \wedge a f_{11}) \wedge_a (-f_4 \wedge a f_5)]; & \omega_5 &= -[(-f_3 f_6) \wedge a f_{10}]; \\ \omega_6 &= -[(-f_6 f_7) \wedge a f_9]; & \omega_7 &= -[(-f_7 f_8) \wedge a f_{10}] \end{aligned} \quad (13)$$

и

$$\begin{aligned} f_1 &= x \geq 0; & f_2 &= b_2 - x \geq 0; & f_3 &= b_3 - x \geq 0; \\ \dots & \dots & \dots & \dots & \dots & \dots \\ f_8 &= b_8 - x \geq 0; & f_9 &= y^2 - a^2 \geq 0; & f_{10} &= y^2 - d^2 \geq 0; \\ f_{11} &= c^2 - y^2 \geq 0; & \psi_1(x, V_1, V_2) &= \frac{(V_2 - V_1)}{b_2} x + V_1; \\ \psi_2(x, V_2, V_4) &= \frac{(V_2 - V_4)}{b_3 - b_6} x + \frac{b_3 V_4 - b_6 V_2}{b_3 - b_6}; \\ \psi_3(x, V_4, V_5) &= \frac{(V_4 - V_5)}{b_7 - b_8} x + \frac{b_7 V_5 - b_8 V_4}{b_7 - b_8}. \end{aligned} \quad (14)$$

Функция  $\omega(x, y)$  в данном случае имеет следующий вид:

$$\omega = (f_1 f_8) \{ -[(-f_2 f_3) \wedge a f_9] \} \{ -[(f_9 \wedge a f_{11}) \wedge_a (-f_4 \wedge a f_5)] \} \times \\ \times \{ -[(-f_6 f_7) \wedge a f_9] \}. \quad (15)$$

Аналогично можно проверить, что функция

$$\begin{aligned} \varphi(x, y) &= \frac{\frac{V_1}{\omega_1} + \frac{V_2}{\omega_2} + \frac{V_3}{\omega_4} + \frac{V_4}{\omega_6} + \frac{V_8}{\omega_8} + \frac{f_1(x; V_1, V_2)}{\omega_2}}{\sum_{i=1}^8 \frac{1}{\omega_i}} + \\ &+ \frac{\frac{f_2(x, V_2, V_4)}{\omega_5} + \frac{f_3(x, V_4, V_5)}{\omega_7}}{\sum_{i=1}^8 \frac{1}{\omega_i}} + \omega \sum_{\substack{i+j=0 \\ i, j \geq 0}}^n C_{ij} \frac{x^i y^j}{(1 + \omega)^{\frac{2+i+j+1}{2}}} \end{aligned}$$

при любых  $C_{ij}$  точно удовлетворяет условиям (12).

Таким образом, предлагаемая методика позволяет создать удобный алгоритм для расчета электрических линз на ЭВМ.

#### ЛИТЕРАТУРА

1. А. П. Волков, В. Ф. Кравченко, Г. П. Манько, В. Л. Рвачев. «Дифференциальные уравнения», т. 3, № 9, 1967.
2. В. Ф. Кравченко, В. Л. Рвачев, Э. Д. Прохоров, В. К. Яромлюк. «Радиотехника и электроника», 1969, № 1.
3. В. Л. Рвачев. Геометрические приложения алгебры логики. Изд-во «Техника», Киев, 1967.

4. В. С м а й т. Электростатика и электродинамика, Изд-во иностр. лит., Л., 1962.

5. Л. В. К а н т о р о в и ч, В. И. К р ы л о в. Приближенные методы высшего анализа. Физматгиз. Л., 1962.

6. Д. Р. П и р с. Теория и расчет электронных пучков. Изд-во «Советское радио», 1956.